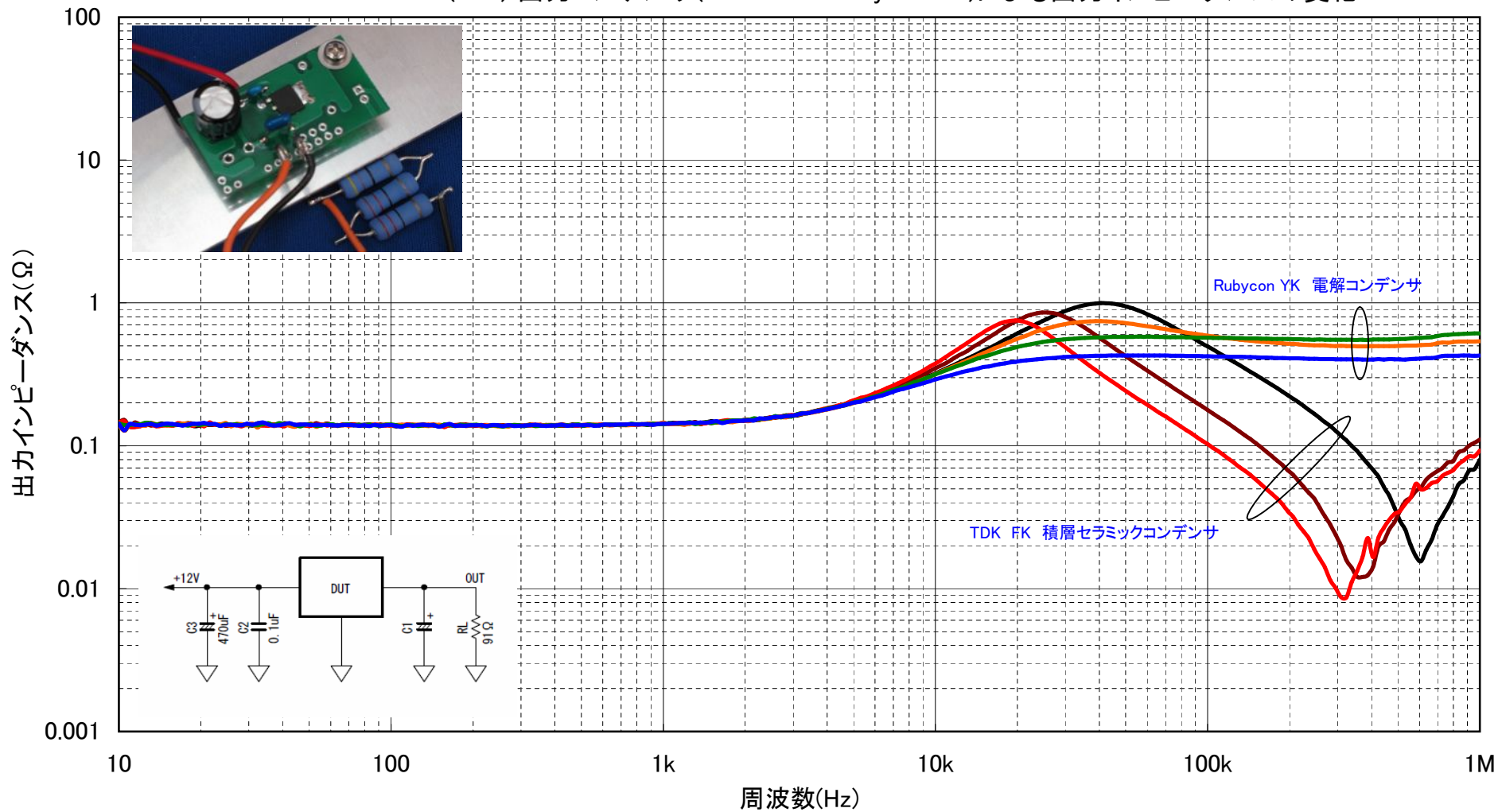


LDO BD90C0AFPS (+9V) 出力コンデンサ(TDK FK & Rubycon YK)による出カインピーダンスの変化



— FK3.3uF — FK10uF — FK33uF — YK3.3uF — YK10uF — YK33uF

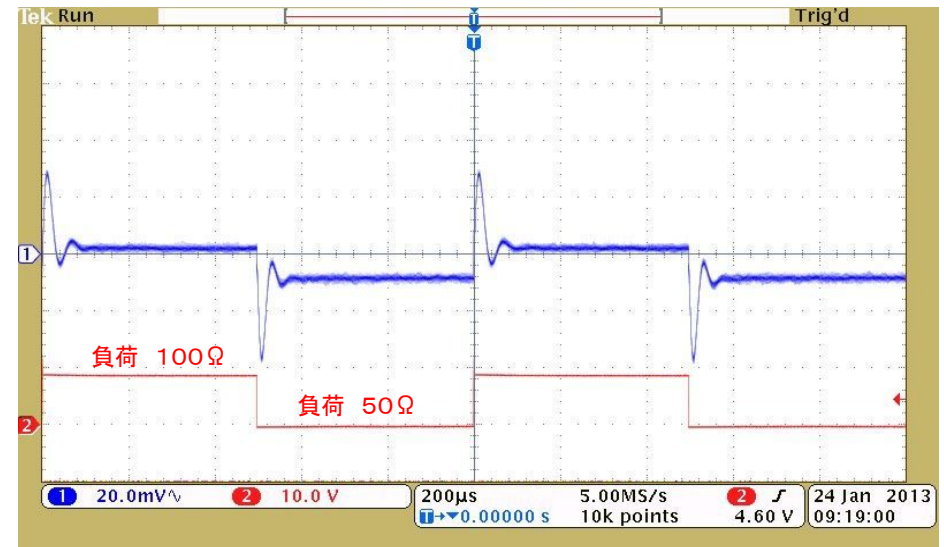
## 負荷変動時のリングング

LDO BD90C0AFPS(+9V)

C1: 33 $\mu$ F(積層セラミックコンデンサ)  
直流負荷: 100 $\Omega$  / 50 $\Omega$ を0.5mS毎に交互に切り替え

参考(アナログお役立ち実験室)

・TDK FK22X5R(X7R) 積層セラミックコンデンサインピーダンス—周波数特性  
[http://cs3.el.gunma-u.ac.jp/AnalogKnowledge/Laboratory/Chapter001/Doc/IM\\_C\\_8A.pdf](http://cs3.el.gunma-u.ac.jp/AnalogKnowledge/Laboratory/Chapter001/Doc/IM_C_8A.pdf)



LDO LM2990-15(-15V)

C1: 10 $\mu$ F(OSコンデンサ)  
直流負荷: 150 $\Omega$  / 75 $\Omega$ を1mS毎に交互に切り替え

参考(アナログお役立ち実験室)

・LDO LM2990-15(-15V)出力コンデンサ(OSコンデンサ)による出力インピーダンスの変化  
[http://cs3.el.gunma-u.ac.jp/AnalogKnowledge/Laboratory/Chapter001/Doc/IM\\_ROZ\\_4B.pdf](http://cs3.el.gunma-u.ac.jp/AnalogKnowledge/Laboratory/Chapter001/Doc/IM_ROZ_4B.pdf)  
・有機半導体アルミ固体電解コンデンサSCシリーズのインピーダンス—周波数特性  
[http://cs3.el.gunma-u.ac.jp/AnalogKnowledge/Laboratory/Chapter001/Doc/IM\\_C\\_2A.pdf](http://cs3.el.gunma-u.ac.jp/AnalogKnowledge/Laboratory/Chapter001/Doc/IM_C_2A.pdf)

